

SIMULASI METODE NUMERIK BEDA-HINGGA UNTUK MENDUGA PENYEBARAN KADAR AIR VOLUMETRIK DAN POTENSIAL AIR TANAH

The Simulation of Numerical Method of Finite Difference for Predicting the Distribution of Volumetric Water and Water Potential

Tamrin Latief¹, Hermantoro², dan Budi Indra Setiawan³

ABSTRACT

This paper describes an application of numerical method of finite difference for predicting the distribution of volumetric water (θ) and water potential (Ψ) by using diffusivity and conductivity approach. The result of current study showed that the parameters, volumetric water and water potential, correlated reversely. The trend of application of numerical method was similar to that of exact method. The simulation of parameters was not significant. The reliability of models is still needed to test empirically.

Keywords: volumetric water, water potential.

PENDAHULUAN

Air **berperan** penting dalam **pertumbuhan** dan perkembangan **tanaman**. Walaupun didukung dengan penyediaan kondisi **lingkungan** lain, seperti suhu, cahaya, kelembaban dan lain-lain, **pertumbuhan** dan **perkembangan tanaman** tidak **akan berjalan** seperti yang diharapkan bila tidak didukung oleh penyediaan air yang sesuai.

Secara lebih spesifik, fungsi air bagi **tanaman** adalah untuk pelarut bahan-bahan organik dan anorganik;

sebagai komponen protoplasma; untuk pereaksi dalam proses sintesis dan hidrolisis; untuk memantapkan tekanan turgor; untuk pembelahan dan pembesaran sel-sel; untuk mengangkut nutrisi dari akar **tanaman** ke bagian **tanaman** lainnya; dan untuk mengatur suhu **tanah** dan **tanaman**.

Tanah terdiri dari tiga fase penyusun, yaitu fase **padat** (partikel **tanah**), fase cair atau **larutan tanah** (air dan **zat** terlarut lainnya), dan fase gas berupa udara (**Hillel**, 1973). Di dalam **tanah** air merupakan **lapisan tipis** (film) yang berada dalam ruang pori diantara partikel **tanah**. Pada

¹ Staf **Pengajar** Jurusan Teknologi Pertanian Fakultas Pertanian, UNSRI

² Staf **Pengajar** Jurusan Teknologi Pertanian Fakultas Pertanian, STIPER-YOGYA

³ Staf **Pengajar** Jurusan Teknik Pertanian Fakultas Teknologi Pertanian, IPB

keadaan jenuh air, semua **ruang pori tanah** terisi oleh air. Pada saat pengeringan atau terjadi **evapo-transpirasi** bagian ruang pori yang diisi oleh air berangsurgansur digantikan oleh udara, **sejalan** dengan pengurangan kadar air dalam **tanah**.

Konsep aliran air di dalam **tanah** melalui **tanaman** ke atmosfer dikenal dengan istilah **Soil-Plant-Atmosphere Continuum** (SPAC). Aliran air **tersebut** melalui dua interface (**antar muka**), yakni interface **tanah** (termasuk **lengas**) dengan **tanaman** dan interface **tanaman** dengan **atmosfer**. Aliran air di dalam **tanah** tidak jenuh akan **sangat** dipengaruhi oleh penyebaran dan beda potensial air dalam **tanah**. Dalam hubungannya dengan aliran air dalam **tanah** dan **tanaman**, potensial air merupakan pernyataan keberadaan air yang lebih sesuai dibandingkan dengan lainnya, misalnya kadar air **tanah**. Hal ini disebabkan semua aliran air merupakan konsekuensi dari gradien potensial. Sebagai aliran yang kontinyu, laju aliran air juga dipengaruhi oleh laju penyerapan air dari **tanah** oleh **tanaman**, serta dari **tanaman** melalui jaringan **tanaman** dan stomata ke atmosfer.

Beda potensial ataupun gradien potensial dari **suatu** sistem ke sistem lainnya merupakan **daya dorong** dalam aliran air. Walaupun aliran air **tersebut** kontinyu, aliran **tersebut** tidak harus **berlangsung** terus-menerus karena laju **aliran** akan mengalami resistensi pada interface **tanah-akar tanaman**, antara jaringan dalam **tanaman**, dan **tanaman-atmosfer**.

Penyebaran potensial air **penting** dipelajari terutama untuk lebih memahami aliran air maupun **larutan** dalam **Soil-Plant-Atmosphere-Continum**. Pendugaan penyebaran potensial air di dalam **tanah sangat** sulit. Dibutuhkan **banyak waktu** dan biaya bila dilakukan pengamatan **langsung**, serta dikhawatirkan akan mengganggu keadaan alami dari sistem yang ada bila menggunakan **alat**. Oleh karena itu pendekatan secara numerik merupakan **alternatif** lain yang mungkin dapat **diandalkan** (Setiawan, 1994).

Pada paper ini dikemukakan **pendugaan** kadar air volumetrik dan potensial air yang didasarkan pada fenomena di **lapangan** serta simulasinya dengan menggunakan pendekatan numerik beda hingga (finite difference).

PENDEKATAN ALIRAN AIR DALAM SISTEM TANAH

Aliran air dalam sistem **tanah** adalah gabungan air yang bergerak di **tanah** (mikro dan **makro** pori) dan yang mengalir ke permukaan akar (temu muka tanah-akar). Situasinya di **lapangan** merupakan pergerakan aliran air secara radial. Untuk mensimulasi **situasi** ini didekati dengan pergerakan air secara horizontal dan **vertikal**.

Sebelum sampai kepada pemahaman pendekatan **tersebut** di atas, perlu dimengerti terlebih **dahulu** beberapa karakteristik air **tanah**, seperti kadar air volumetrik (θ), potensial air (Y), fluks air (q),

difusivitas air, konduktivitas air, (K), dan kapasitas **spesifik** air (C).

Potensial air merupakan pernyataan keberadaan air yang lebih sesuai bila dibandingkan dengan yang lainnya, seperti keadaan air tanah. Kadar air volumetrik merupakan fungsi potensial air. Hubungan kedua variabel ini dikenal dengan hubungan kurva retensi air tanah (water retention curve in soil). **Hubungan antara** kadar air volumetrik **dan** potensial air dinyatakan oleh Van Genuchten melalui persamaan (1).

$$\theta(\Psi) = \theta_r + \frac{(\theta_s - \theta_r)}{\left\{1 + \left\{\frac{|\Psi|}{\alpha}\right\}^n\right\}^m} \quad (1)$$

dimana:

θ = kadar air volumetrik
 $(\text{cm}^3/\text{cm}^3)$

Ψ = potensial air cm H₂O

θ_s = kadar air volumetrik jenuh
(cm^3/cm^3)

Θ_t = kadar air volumetrik sisa
(cm^3/cm^3)

a, n, m = konstanta jenis tanah

Konstanta untuk melakukan air dikenal dikenal dengan konduktivitas hidrolik (K). Konduktivitas hidrolik tanah tidak jenuh air merupakan fungsi kadar air volumetrik. Adapun hubungan tersebut dinyatakan oleh Setiawan (1993) sebagai berikut,

$$k(\theta) = k_s \exp \left\{ -a(\theta_s - \theta)^b \right\} \dots (2)$$

dimana:

K = konduktivitas hidrolik
(cm²/detik)

K_s = konduktivitas hidrolik jenuh

18 — Kona
(cmldetik)

a,b = konstanta untuk fitting

Karakteristik air tanah lain, yaitu kapasitas spesifik air dan difusivitas. Kapasitas spesifik air diturunkan dari hubungan kadar air volumetrik dengan potensial (persamaan 1). Adapun hasil penurunan tersebut adalah seperti persamaan (3).

Sedangkan difusitas hidrolik merupakan rasio konduktivitas hidrolik dengan kapasitas spesifik air, yaitu mengikuti persamaan berikut,

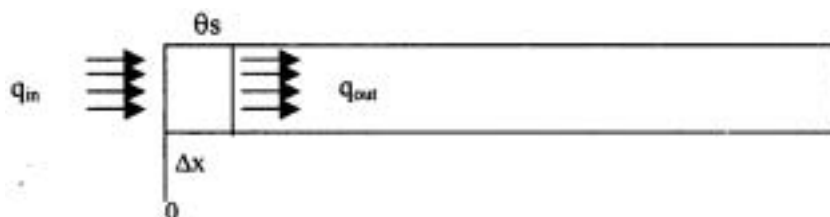
Air **tanah** mengandung energi dalam bentuk dan jumlah yang berbeda. Energi tersebut, yaitu energi potensial dan energi kinetik. Oleh karena gerakan air di dalam **tanah** relatif **pelan** dan energi kinetik merupakan kuadrat dari kecepatan, maka, umumnya energi kinetik aliran air di dalam **tanah** sangat kecil atau dianggap tidak ada. **Sebaliknya** energi potensial yang menunjukkan **kedudukan** dan kondisi internal menjadi **sangat penting** dalam hal kedudukan **dan aliran** air dalam **tanah** (Hillel, 1973). **Adanya perbedaan** potensial energi di **tempat** yang berbeda di dalam **tanah** menyebabkan adanya kecenderungan aliran air. Aliran air pada umumnya berasal dari **tempat** dengan potensial tinggi ke **tempat** dengan potensial rendah.

Pada kondisi tekanan hidrostatik lebih besar dari tekanan atmosfer, **potensial air tanah** lebih besar dari tekanan pada titik acuan, dan disebut tekanan **positif**. Sedangkan pada keadaan tidak jenuh air, **tanah** ditahan oleh gaya kapiler dan adsorbsi, maka umumnya disebut potensial negatif.

$$C = -m (\theta_s - \theta_r) \left\{ 1 + \left(\frac{\Psi}{\alpha} \right)^n \right\}^{-m-1} n \left(\frac{\Psi}{\alpha} \right)^{n-1} \quad (3)$$

dimana C = kapasitas spesifik (1/cm)

Pendekatan **difusitas** pada lapisan **tipis tanah** yang diasumsikan terjadi gerakan air ke arah horisontal adalah sebagai berikut,



Pada prinsipnya pendekatan difusivitas di **atas** sama dengan pendekatan konduktivitas, yaitu hanya mensubstitusikan ψ dan WC ke dalam persamaan 10. Dimana

$$-\frac{\Delta q}{\Delta x} = \frac{\Delta \theta}{\Delta t} \quad (5)$$

$$\Delta \theta = -\frac{q_{out} - q_{in}}{\Delta x} At \quad (6)$$

$$qx = -D(\theta) \frac{\partial \Psi}{\partial x} \quad (7)$$

$$\frac{q_{out} - q_{in}}{\Delta x} = -\frac{\Delta \theta}{At} \quad (8)$$

$$\frac{\partial \theta}{\partial t} = -\frac{\partial q}{\partial x} = -\left\{ \frac{\partial (-D(\theta) \frac{\partial \Psi}{\partial x})}{\partial x} \right\} \quad (9)$$

$$\frac{\partial \theta}{\partial t} = -\frac{\partial}{\partial x} (D(\theta) \frac{\partial \Psi}{\partial x}) = \frac{\partial D(\theta)}{\partial x} \frac{\partial \Psi}{\partial x} + D(\theta) \frac{\partial^2 \Psi}{\partial x^2} \quad (10)$$

$$C \cdot \frac{\partial \Psi}{\partial t} = \frac{\partial k(\Psi)}{\partial x} \cdot \frac{\partial \Psi}{\partial x} + k(\Psi) \frac{\partial^2 \Psi}{\partial x^2} \quad (11)$$

PEMECAHAN MODEL DENGAN METODE NUMERIK

Pemecahan model matematik pendekatan difusivitas dan

1. Pendekatan difusivitas (D) :

$$\frac{\partial \theta}{\partial t} = \frac{\theta^{t+\Delta t}}{\Delta t}$$

$$\frac{\partial D(\theta)}{\partial x} = \frac{D(\theta)_{i+1}' - D(\theta)_{i-1}'}{2\Delta x}$$

$$\frac{\partial \theta}{\partial x} = \frac{\theta_{i+1}^j - \theta_{i-1}^j}{2\Delta x}$$

$$\frac{\partial^2 \theta}{\partial x^2} = \frac{\theta'_{i+1} - 2\theta'_i + \theta'_{i-1}}{\Delta x^2}$$

$$\frac{\theta_i^{t+1} - \theta_i^t}{\Delta t} = \frac{D_{i+1}^t - D_{i-1}^t}{2\Delta x} \frac{\theta_{i+1}^t - \theta_{i-1}^t}{2\Delta x} + D_i \frac{\theta_{i+1}^t - 2\theta_i^t + \theta_{i-1}^t}{\Delta x^2}$$

$$\theta_i^{t+\Delta t} = \left\{ \frac{1}{2\Delta x} \left(D_{i+1}^t - D_{i-1}^t \right) \frac{1}{2\Delta x} \left(\theta_{i+1}^t - \theta_{i-1}^t \right) + \frac{1}{\Delta x^2} \left(D_i^t \left(\theta_{i+1}^t - 2\theta_i^t + \theta_{i-1}^t \right) \right) \right\} \Delta t + \theta_i^t$$

$$\theta_i^{t+\Delta t} = \left\{ \frac{1}{4\Delta x^2} \left(D_{i+1}^t - D_{i-1}^t \right) \theta_{i+1}^t - \theta_{i-1}^t \right\} + \frac{1}{\Delta x^2} \left(D_i^t \left(\theta_{i+1}^t - 2\theta_i^t + \theta_{i-1}^t \right) \right) \Delta t + \theta_i^t$$

$$A = (D'_{i+1} - D'_{i-1}) \frac{\Delta t}{(2\Delta x)^2}$$

$$B = D'_i \frac{\Delta t}{\Delta x^2}$$

$$\theta_i' = (A - B)\theta_{i-1}' + (1 - 2B)\theta_i' + (B + A)\theta_{i+1}'$$

adapun kondisi batasnya. :

$$\theta(0,t) = 0,8; \theta(x_{\max},t) = 0,65 \Rightarrow 0 < t < x_{\max}$$

konduktivitas dengan metode numerik beda hingga adalah sebagai berikut :

2. Pendekatan konduktivitas (K)

$$C \frac{\partial \psi}{\partial t} = \frac{\partial k}{\partial x} \cdot \frac{\partial \psi}{\partial x} + k \frac{\partial^2 \psi}{\partial x^2} \quad (13)$$

$$C \frac{\partial \psi}{\partial t} = C \frac{\psi^{i+\Delta t}}{\Delta t}$$

$$\frac{\partial k}{\partial x} = \frac{k_{i+1} - k_{i-1}}{2\Delta x}$$

$$\frac{\partial \psi}{\partial x} = \frac{\psi_{i+1} - \psi_{i-1}}{2\Delta x}$$

$$\frac{\partial^2 \psi}{\partial x^2} = \frac{\psi_{i+1} - 2\psi_i + \psi_{i-1}}{\Delta x^2}$$

$$C \frac{\partial \psi}{\partial t} = \left(\frac{k_{i+1} - k_{i-1}}{2\Delta x} \right) \left(\frac{\psi_{i+1} - \psi_{i-1}}{2\Delta x} \right) + k \left(\frac{\psi_{i+1} - 2\psi_i + \psi_{i-1}}{\Delta x^2} \right)$$

$$\psi_i^{i+\Delta t} - \psi_i^i = \left[\frac{\Delta t}{4\Delta x^2 C} (k_{i+1} - k_{i-1})(\psi_{i+1} - \psi_{i-1}) + \frac{A\alpha}{\Delta x^2 C} (\psi_{i+1} - 2\psi_i + \psi_{i-1}) \right] \Delta t$$

$$\psi_i^{i+\Delta t} = \left[\frac{A}{4\Delta x^2 C} (k_{i+1} - k_{i-1})(\psi_{i+1} - \psi_{i-1}) + \frac{A\alpha}{\Delta x^2 C} (\psi_{i+1} - 2\psi_i + \psi_{i-1}) \right] \Delta t + \psi_i^i$$

$$A = \frac{\Delta t}{4\Delta x^2 C} (k_{i+1} - k_{i-1})$$

$$B = \frac{A\alpha}{\Delta x^2 C}$$

$$\psi_i^{i+\Delta t} = (A+B)\psi_{i+1} + (1-2B)\psi_i + (B-A)\psi_{i-1}$$

Adapun kondisi batasnya

$$(\psi(0,t)=0), (\psi(x_{\max},t)=12) \Rightarrow 0 < t < x_{\max}$$

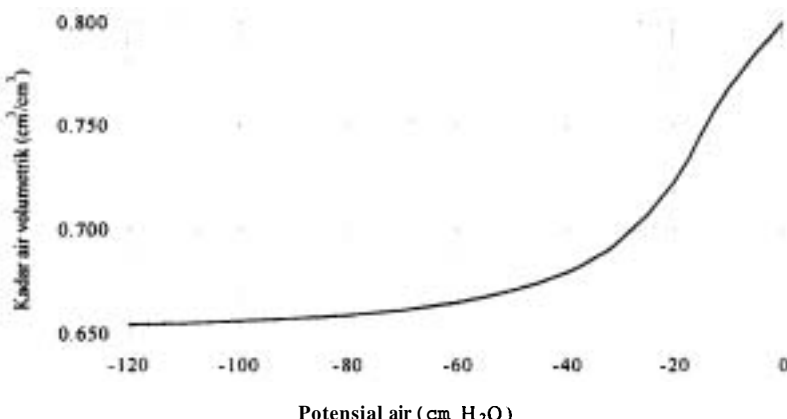
$0,8 \text{ cm}^3/\text{cm}^3$; Konduktivitas saturasi = $0,002 \text{ cm}/\text{detik}$; $a = 4437$; $b = 3.15$; $\alpha = 18.7$; $n = 2$; $m = 0.95$.

Untuk keperluan simulasi, pada kedua pendekatan tersebut di atas dikurangi dengan besarnya nilai evapotranspirasi (q). Dan kondisi air tanah di lapang adalah: kadar air volumetrik sisa (residual) = $0,65 \text{ cm}^3/\text{cm}^3$; kadar air volumetrik saturasi =

HASIL DAN PEMBAHASAN

Hubungan kadar air volumetrik dengan potensial air secara analitik (exact) dapat dilihat pada Gambar 1. Dari kurva tersebut nampak bahwa pada kisaran nilai potensial kecil ($0 - 50$ cm H_2O) terjadi penurunan kadar air yang tajam, dan selanjutnya cenderung menjadi landai dan kemudian mendekati nilai kadar air residu (konstan).

Pada Gambar 3 terlihat kurva konduktivitas (K) dan difusifitas air (D) mempunyai kecenderungan yang sama. Dari nilai potensial air $0-10$ cm H_2O , ke dua variabel naik secara tajam (terutama K), dan mencapai maksimum pada potensial air sekitar 12 cm H_2O . Selanjutnya menurun. Kurva divusifitas lebih dahulu mendekati nol (pada potensial air 30 cm H_2O). Sedangkan kurva konduktivitas kemudian (pada

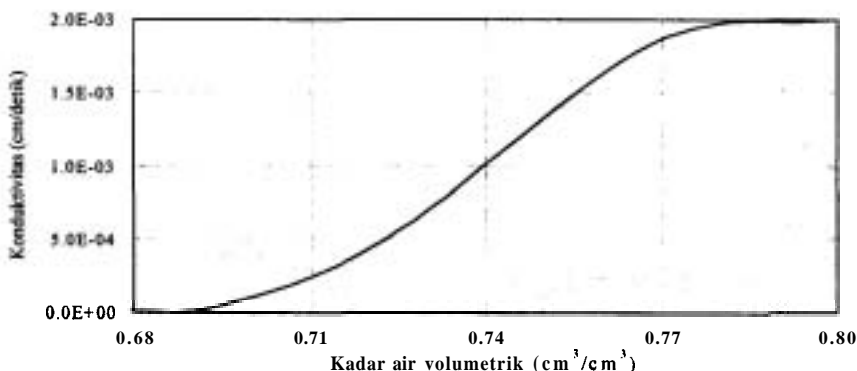


Garnbar 1. Kurva retensi air tanah

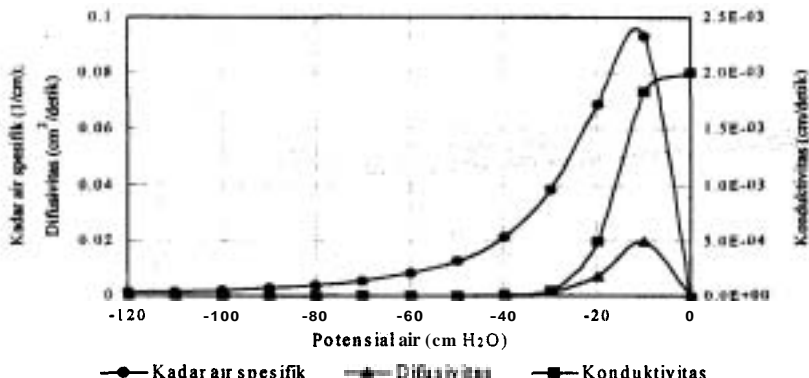
Kurva konduktivitas (K) fungsi kadar air volumetrik dapat dilihat pada Gambar 2. Dari gambar tersebut terlihat bahwa pada nilai kadar air volumetrik residu, yakni **0,65** konduktivitas tanah akan mendekati nol, kemudian akan meningkat dengan tajam sejalan dengan peningkatan kadar air mencapai kurang lebih $0,775$ dan akhirnya akan sama dengan $0,002$ pada keadaan jenuh air.

potensial air sekitar **100 cm H_2O** .

Hasil analisis numerik beda hingga (finite difference) menunjukkan kecenderungan seperti pada Gambar 4 - 5, sedangkan data lengkapnya dapat dilihat pada Lampiran 1 sampai 6. Dari kurva yang dihasilkan dapat dikemukakan bahwa keberlakuan dari **analisis numerik** beda hingga (finite difference) yang didasarkan pada nilai D , kadar air tanah volumetrik sangat tergantung pada kondisi kadar



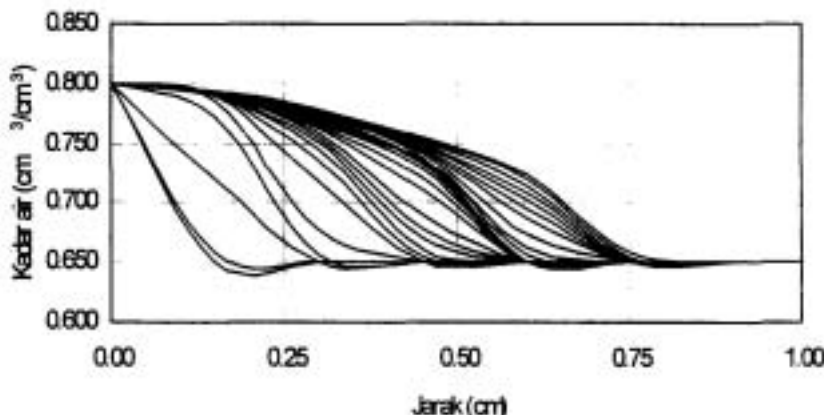
Gambar 2. Kurva konduktivitas tanah fungsi kadar air volumetrik



Gambar 3. Kurva karakteristik air tanah fungsi potensial air

air tanah. Pada analisis ini digunakan $0.8 \text{ cm}^3/\text{cm}^3$ untuk kadar air volumetrik jenuh dan $0.65 \text{ cm}^3/\text{cm}^3$ untuk kadar air volumetrik residu. Sedangkan analisis potensial air yang didasarkan pada nilai konduktivitas (K), keberlakuananya dibatasi oleh kondisi awal pada saat tanah dalam keadaan kering, yaitu potensial air tanah sama dengan $120 \text{ cm H}_2\text{O}$ dan jenuh, potensial air tanah sama dengan $0 \text{ cm H}_2\text{O}$.

Pada kurva kadar air volumetrik fungsi jarak terlihat bahwa pada waktu-waktu awal kurva menurun tajam kemudian melandai dan selanjutnya stabil. Dengan melakukan simulasi terjadinya evapotranspirasi sebesar $0.001 \text{ cm}^3/\text{cm}^3$ melalui hisapan akar tanaman menyebabkan kadar air tanaman turun dan memperlihatkan kecenderungan grafik yang menurun lebih tajam.



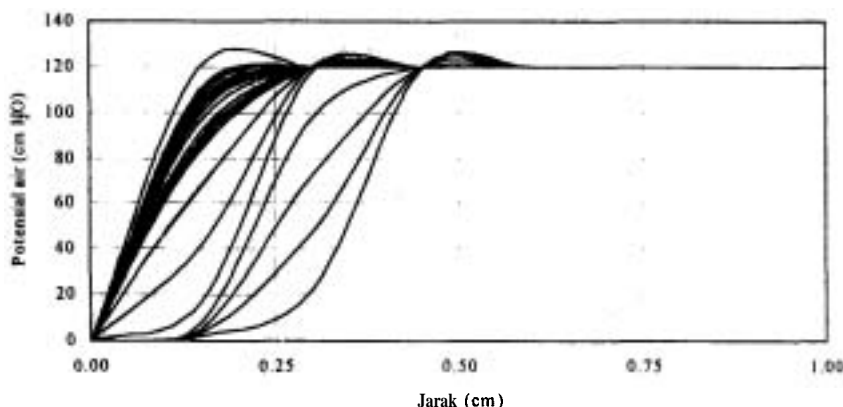
Gambar 4. Kurva kadar air volumetrik fungsi jarak

Sedangkan pada kurva potensial air mempunyai kecenderungan **yang serupa** dengan kadar air tetapi arah kurvanya terbalik. Hal ini sesuai dengan hubungan antara kadar air dan potensial air **yang** dikemukakan sebelumnya.

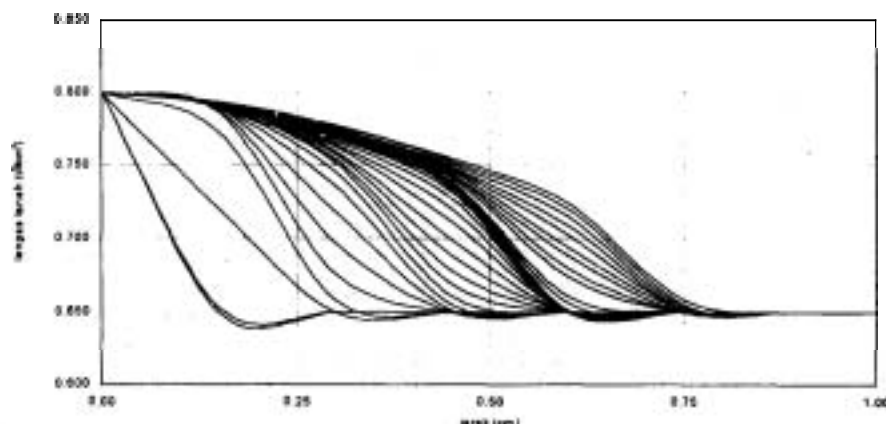
Demikian juga kecenderungan kurva pada simulasi evapotranspirasi dan simulasi potensial air (Gambar 6

dan 7). Keduanya tidak menunjukkan perbedaan yang signifikan **dengan** kurva hasil **analisis** masing-masing. Hal ini dikarenakan perubahan yang disimulasikan **kecil** sekali.

Untuk **menguji** keberlakukan dari dua model numerik **tersebut** dilakukan verifikasi hasil keluaran dari masing-masing model (Tabel 1). Verifikasi dilakukan terhadap kadar air volumetrik **tanah** dari dua model pada



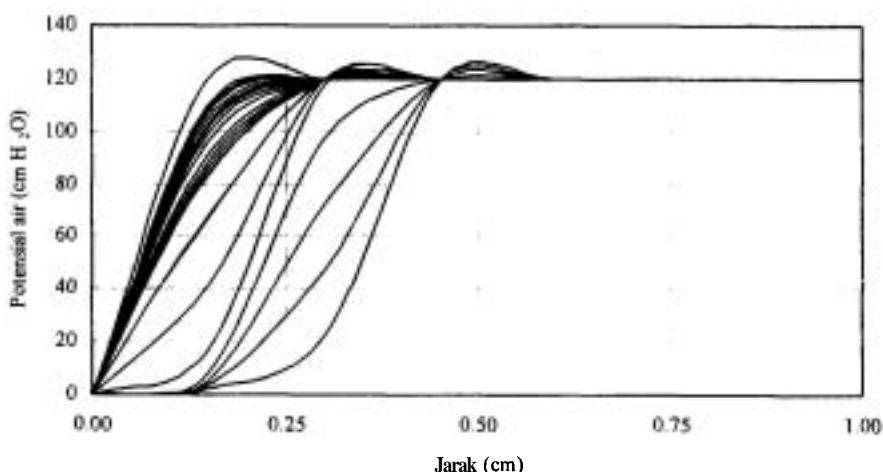
Gambar 5. Kurva potensial air tanah fungsi jarak



Gambar 6. Kurva kadar air volumetrik dengan simulasi evapotranspirasi

saat waktu dan jarak yang sama, **setelah** terlebih **dahulu** melakukan konversi dari potensial air **tanah** (model II) ke bentuk kadar air volumetrik **tanah**. Hasil verifikasi menunjukkan bahwa terjadi perbedaan antara kadar air volumetrik **tanah** pada model 1 dan model 2.

Perbedaan kadar air **tanah tersebut** meningkat **mulai** dari waktu awal ($t=0$) sampai mencapai maksimum pada waktu 11.110 detik, kemudian perbedaan kadar air **tanah menurun** mencapai minimal pada 44 detik, dimana kondisi **tanah** hampir mencapai tingkat jenuh.



Gambar 7. Kurva potensial air dengan simulasi

Tabel 1. Hasil verifikasi model 1 (θ) dan model 2 (w)

Waktu	Model I		Model II		Waktu	Model I		Model II		$\Delta \theta$
	θ	ψ	θ konversi dari ψ	$\Delta \theta$		θ	ψ	θ Konversi dari w	$\Delta \theta$	
0.00	0.650	120.00	0.650	0.000	12.000	0.793	88.00	0.658	0.135	
0.89	0.766	117.63	0.654	0.122	13.33	0.793	84.44	0.658	0.135	
1.33	0.787	116.44	0.655	0.123	14.67	0.793	80.84	0.659	0.134	
1.78	0.788	115.26	0.655	0.133	16.00	0.793	77.33	0.660	0.133	
2.67	0.789	112.89	0.655	0.134	17.78	0.793	72.59	0.661	0.132	
3.11	0.789	111.70	0.655	0.134	18.67	0.794	70.22	0.661	0.132	
4.00	0.790	109.33	0.655	0.145	19.56	0.794	67.85	0.662	0.132	
4.89	0.791	106.96	0.655	0.146	20.57	0.794	65.16	0.663	0.131	
5.78	0.791	104.59	0.656	0.145	21.45	0.794	62.79	0.664	0.130	
6.67	0.791	102.22	0.656	0.135	22.67	0.794	59.56	0.665	0.129	
7.56	0.792	99.85	0.656	0.136	24.00	0.795	56.00	0.667	0.128	
8.44	0.792	97.37	0.656	0.136	25.78	0.795	51.26	0.670	0.125	
9.78	0.793	93.93	0.657	0.136	26.67	0.795	48.89	0.671	0.124	
10.20	0.793	92.74	0.657	0.136	28.56	0.795	43.83	0.675	0.120	
10.67	0.793	91.56	0.657	0.136	42.67	0.796	12.45	0.756	0.040	
11.11	0.793	90.37	0.657	0.136	44.00	0.796	11.26	0.762	0.034	

DAFTAR PUSTAKA**KESIMPULAN DAN SARAN**

Dari hasil studi ini dapat disimpulkan bahwa metode numerik beda hingga (finite difference) dapat digunakan untuk menyelesaikan persamaan kadar air volumetrik tanah dan potensial air tanah. Hasil pendugaan kadar air volumetrik tanah dan potensial air tanah menunjukkan bahwa kedua parameter mempunyai hubungan terbalik. Hal ini sesuai dengan bentuk hubungan bila kedua parameter tersebut dihitung secara analitik (eksak).

Hasil simulasi, baik pada pendugaan kadar air volumetrik maupun potensial air tanah menunjukkan perbedaan yang tidak signifikan. Disarankan untuk menguji tingkat keandalan model secara empiris, yaitu dengan melakukan percobaan di lapangan.

Catatan Kuliah. 1999. Analisa Sistem Aliran Air di Tanah, Tamanan, dan Atmosfer. (Dosen: Budi Indra Setiawan). IPB, Bogor.

Hillel, D. 1973. Soil and Water, Physical Principles and Processes. Academic Press New York.
Hillel, D. 1980. Application of Soil Physics. Academic Press. New York, London.

Kirkham, D. and W. L. Powers. 1972. Advanced Soil Physics. Wiley-Interscience. New York

Peck, J.A. 1982. Field Variability of Soil Physical Properties. Edited by Hillel. Academic Press New York, London.

Setiawan, B.I. 1993. Studies on Infiltration in Soil Having Macropore (unpublished). Dissertation of Agricultural Engineering, The University of Tokyo, Tokyo.